

629 35.281

629, 93

K-83

K83

Расчет горизонтального оперения

Описание конструкции

Стабилизатор двухлонжеронный, свободно-несущий.
Обшивка - полотно. Вид в плане - трапеция с сильно закругленными концами.

Руль глубины с цельным лонжероном.

Крепление руля на пяти шарнирах.

Руль глубины с осевой компенсацией.

Проверено
1958 г.



ГЕОМЕТРИЧЕСКИЕ ВЕЛИЧИНЫ

Площадь горизонтального оперения.

$$S_{2.0} = 3,5 \text{ м}^2$$

Научно-техническая
библиотека
"ХАИ"



Площадь стабилизатора

$$S_{st} = 2 \text{ м}^2 [57\% S_{2.0}]$$



Площадь руля глубины

$$S_{p.e.} = 1,5 \text{ м}^2 [43\% S_{2.0}]$$



Площадь компенсатора

$$S_{k.p.a} = 0,265 \text{ м}^2 [7,5\% S_{p.e.}]$$



Выбор дужки.

Профиль взят из «Атласа профилей Горского»

№ 152 дужка «Мипк» М-3

У корня (у первой нервюры) дужка 11%

У конца (у шестой нервюры) 6%



ПЕРЕОБЛК 20/9 р.

Нагрузка на горизонтальное оперение.

Нагрузка на горизонтальное оперение определяется из условия статического равновесия самолета в полете.

Случай А.

По нормам прочности нагрузка для этого случая определяется по формуле:

$$P_A = \frac{C'_t \cdot P_A \cdot C}{C_y} \cdot \frac{l'}{l}$$

где $C'_t = 0,006$ — коэффициент момента для случая А (взят из продувок самолета без хвостового оперения)

$P_A = 9$ — коэф. перегрузки для случая А

$C_y = 0,64$ — коэффициент подъемной силы крыла для угла атаки соответствующей случаю А (15°)

$l = 3,56$ — расстояние от центра тяжести самолета до центра давления горизонт. оперения (если $l > 1,5$ t средн. ц. давления гориз. оперения можно приближенно принять расположенным у оси шарниров руля глубины).

$l' = t_{ср.} = 1,83$ — ход к которой отнесен коэффициент C'_t при продувке.

$G = 2000 \text{ кгр.}$ — вес самолета

$$P_A = \frac{0,006 \cdot 9 \cdot 2000 \cdot 1,83}{0,64 \cdot 3,56} = 87 \text{ кгр.}$$

Случай D

По нормам прочности нагрузка для этого случая определяется, подобно случаю А, по формуле:

$$P_D = \frac{C'_m \cdot \Pi_D G}{C_y} \cdot \frac{\ell'}{\ell}$$

где $C'_m = 0,007$ - коэффициент момента для случая D

$\Pi_D = 3$ - коэффициент перегрузки в случае D

$C_y = 0,193$ (в случае D $C_y = 0,3 C_y$ max)

$\ell = 3,56$ м.

$\ell' = 1,83$ м.

$G = 2000$ кгр.

$$P_D = \frac{0,007 \cdot 3 \cdot 2000 \cdot 1,83}{0,193 \cdot 3,56} = 336 \text{ кгр.}$$

Случай В

По нормам прочности нагрузка на горизонтальное оперение определяется подобно случаям А и D, но кроме того, к этой нагрузке добавляется (за счет грубости уравнения) ΔP_B .

Полная нагрузка будет:

$$P_B = P'_B + \Delta P_B$$

$$P'_B = \frac{C'_m \cdot \Pi_B G}{C_y} \cdot \frac{\ell'}{\ell}$$

где $C_{tr} = 0,009$ - коэффициент момента в случае В

$P_B = 5$ - коэффициент перегрузки в случае В

$C_y = 0,128$ - для угла атаки соответств. случаю В

$\ell = 3,56$ м. - расстояние от центра тяжести до центра давления 2.0.

$$\ell' = t_{cp} = 1,83$$

$$G = 2000 \text{ кгр}$$

$$P'_B = \frac{0,009 \cdot 5 \cdot 2000}{0,128} \cdot \frac{1,83}{3,56} = 364 \text{ кгр}$$

$$\Delta P_B = 0,014 V_B^2 S_{2.0} \text{ (согласно нормам прочности)}$$

где $V_B^2 = 2,5 \cdot \frac{P_B G}{Сумах S_{ко}}$

$$\left[\begin{array}{l} S_{ко} = 28,6 \text{ м}^2 - \text{площадь крыла} \\ \rho = 0,125 - \text{плотность воздуха} \end{array} \right]$$

$$V_B^2 = 2,5 \cdot \frac{5 \cdot 2000}{0,64 \cdot 0,125 \cdot 28,6} = 11900 \text{ м}^2/\text{сек} \quad [V_B = 109 \text{ м}/\text{сек}]$$

$$\Delta P_B = 0,014 \cdot 11900 \cdot 3,64 = 605 \text{ кгр.}$$

$$P_B = P'_B + \Delta P_B = 364 \text{ кгр.} + 605 \text{ кгр.} = 969 \text{ кгр.}$$

Случай С

По нормам прочности для данного случая нагрузка на горизонтальное оперение определяется по формуле:

$$P_C = \frac{C'_m S S_{ко} V^2 \ell'}{2 \ell}$$

где $V = 111 \text{ м}/\text{сек}$ - скорость ограниченного пикирования.

$$C_m' = 0,011 \text{ - (при } C_y = 0)$$

$$S = 0,125$$

$$S_{kp} = 28,6 \text{ м}^2$$

$$\ell' = 1,83 \text{ м}$$

$$\ell = 3,56 \text{ м}$$

$$P_c = 2 \frac{0,011 \cdot 0,125 \cdot 28,6 \cdot 12300 \cdot 1,83}{3,56} = 485 \text{ кгр.}$$

Определение нагрузки по проверочной формуле для случая полета в неспокойном воздухе

$$P_\vartheta = 3,34 \sqrt{v_{max}} S_{g.o.}$$

$$P_\vartheta = 3,34 \cdot 106 \cdot 3,64 = 1240 \text{ кгр.}$$

Сравнивая величины нагрузки для различных случаев.

$$P_A = 87 \text{ кгр.}$$

$$P_B = 969 \text{ кгр.}$$

$$P_D = 336 \text{ кгр.}$$

$$P_C = 485 \text{ кгр.}$$

$$P_\vartheta = 1240 \text{ кгр.}$$

3,34 \cdot 144 \cdot 7 =
144

Принимаем расчетной максимальную нагрузку.
(т.е. нагрузку при полете в неспокойном воздухе.)

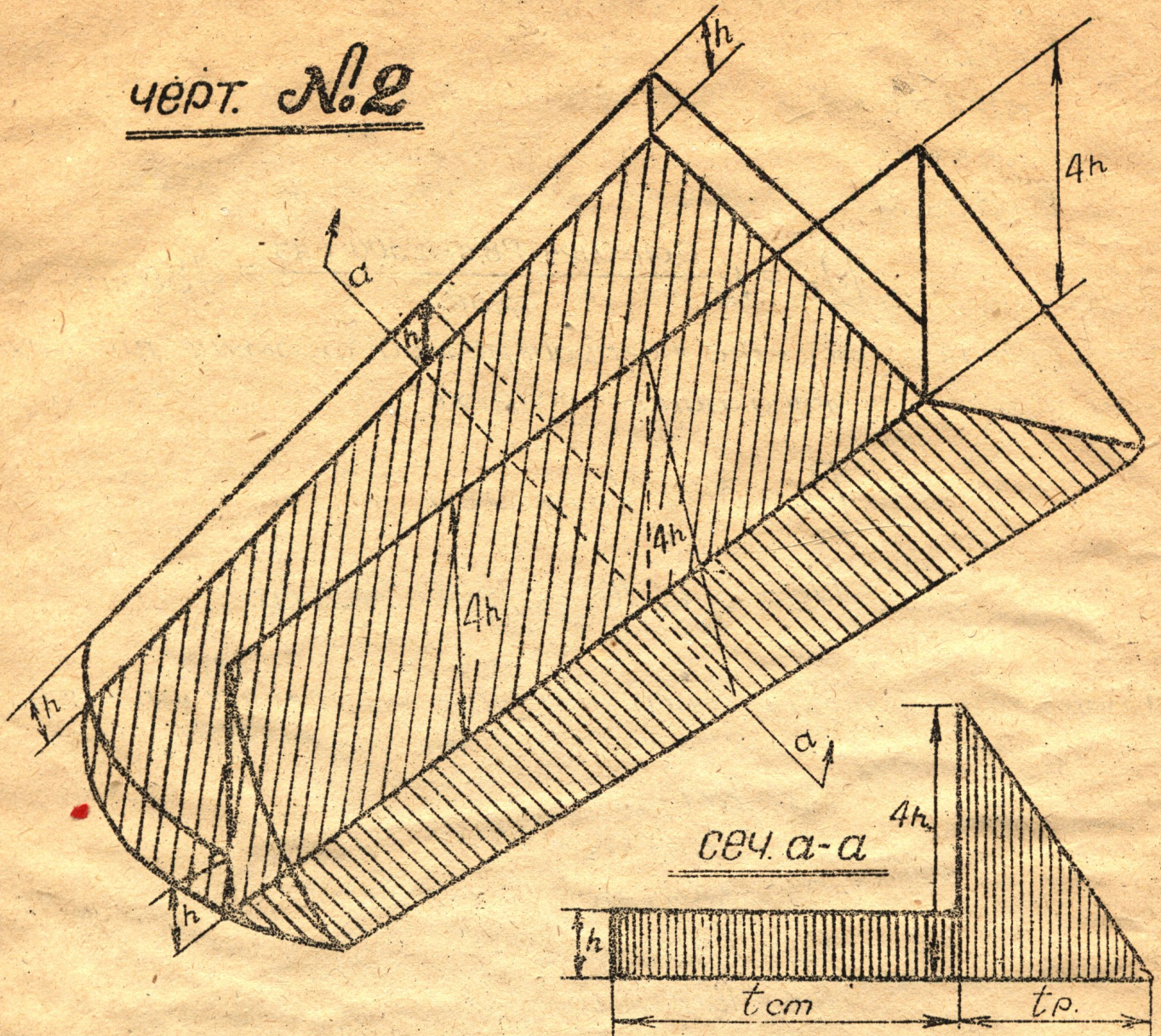
$$\underline{\underline{P = 1240 \text{ кгр.}}}$$

Расчет руля глубины на прочность.

Распределение нагрузки по горизонтальному оперению между стабилизатором и рулем глубины, наиболее опасной для руля глубины с осевой компенсацией, очевидно, будет случай отклоненного руля.

(См. нормы прочности Т.В.Ф. № 9-34г.)

ЧЕРТ. №2



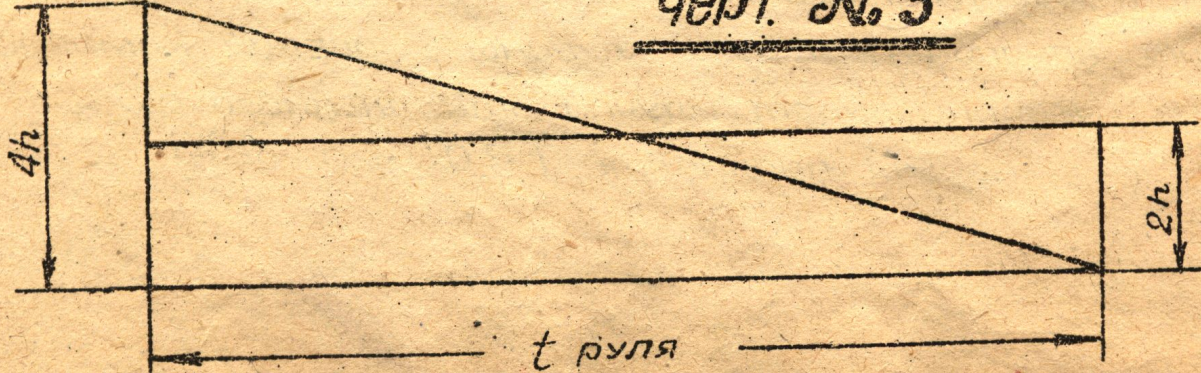
Из чертежка №2 видно, что интенсивность нагрузки на стабилизаторе постоянна и равна $h \text{ кг}/\text{м}^2$.

На руле вдоль передней кромки равна $4h$, и вдоль задней кромки - нулю.

Средняя интенсивность нагрузки по рулю глубины будет:

$$\frac{4h+0}{2} = 2h$$

ЧЕРТ. №3



ЗАМЕЧАНИЕ: очевидно, что средняя интенсивность нагрузки на руль глубины будет в любом сечении руля равна $2h$, независимо от длины данной хорды руля. (см. чертежи № 2 и 3)

Отсюда:

Полная нагрузка на руль.

$$P_1 = S_{\text{р.г.}} \cdot 2h$$

$$P_1 = 1,5 \cdot 2h = 3h$$

Полная нагрузка на стабилизатор

$$P_2 = S_{\text{ст.}} \cdot h \quad [h - \text{интенсивн. нагрузки на ст-ре}]$$

$$P_2 = 2 \cdot h = 2h$$

Нагрузка на все горизонтальное оперение.

$$P = P_1 + P_2 = 3h + 2h = 5h$$

$$P = 5h = 1240 \text{ кгр.} \quad [1240 \text{ кгр. - расчетн. нагрузка}]$$

$$h = \frac{1240}{5} = 248 \text{ кг/м}^2$$

откуда

Нагрузка на руль.

$$P_1 = S_{\text{р.г.}} \cdot 2h = 1,5 \cdot 2 \cdot 248 = 744 \text{ кгр.}$$

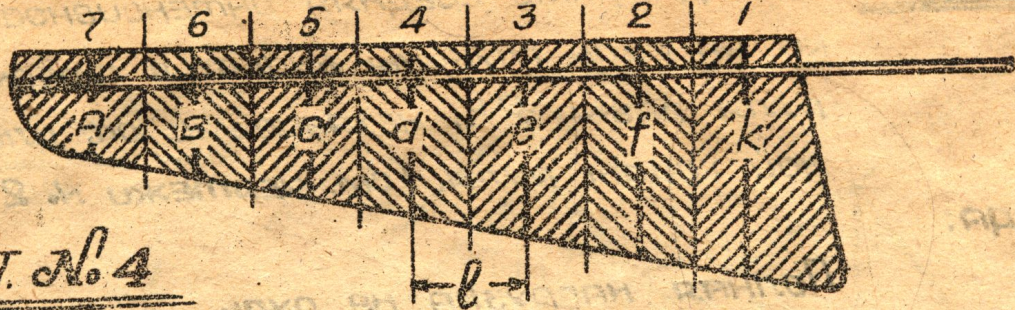
Средняя интенсивность нагрузки на руль.

$$q = 2h = 496 \text{ кг/м}^2$$

$$\text{(или } q = \frac{P_1}{S} = \frac{744}{1,5} = 496 \text{ кг/м}^2 \text{)}$$

Распределение нагрузки по нервюрам.

Нагрузку распределяем (также как при расчете крыла) пропорционально площадям руля глубины передающим нагрузку на данную нервюру.



1-я НЕРВЮРА воспринимает нагрузку от площади "K".

2	»	»	»	»	»	»	f
3	»	»	»	»	»	»	e
4	»	»	»	»	»	»	d
5	»	»	»	»	»	»	c
6	»	»	»	»	»	»	b
7	»	»	»	»	»	»	a

Площади a, c, d, e, f , вследствие изменения расстояния между нервюрами, равны произведению соответственной хорды на расстояние между нервюрами (руля l). Площади «a» и «k» можно вычислить разбив их на элементарные площади трапеций и треугольников. (см. черт. № 4).

Нагрузка на нервюру:

$$P_H = q S_H = 496 S_H$$

ТАБЛИЦА № 1

НАГРУЗОК НА НЕРВЮРЫ РУЛЯ ГЛУБИНЫ.

№ НЕРВЮР	1	2	3	4	5	6	7
Площадь приходящ. на нервюру (m^2)	0,1635	0,131	0,117	0,104	0,09	0,0765	0,0675
Нагрузка на нервюру руля - (кг.)	81	65	58	51,5	44,5	38	34

Расчет лонжерона руля глубины.

Под действием аэродинамических сил, вследствие несовпадения центра давления с центром жесткости руль глубины испытывает изгиб и кручение.

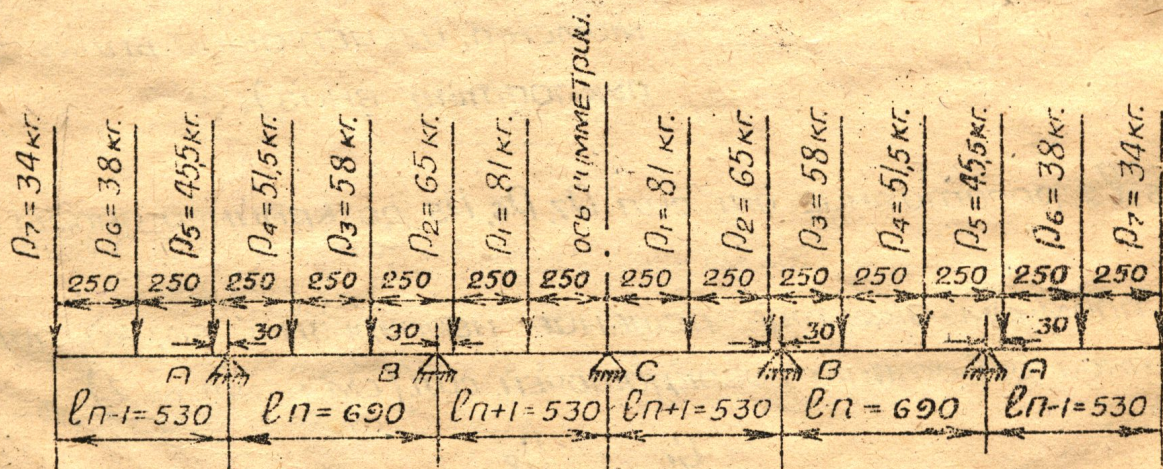
(центр давления, в связи с треугольным законом распределения нагрузки по хорде находится на $\frac{1}{3}$ тр. от носка; центр жесткости при руле с мягкой обшивкой лежит на оси лонжерона).

Расчет на изгиб лонжерона руля глубины.

При расчете лонжерона на изгиб считаем все силы приложенными по оси лонжерона (т.е. в центре жесткости). (действие крутящих моментов, передаваемых нервюрами на лонжерон - рассмотрим ниже)

Расчитываем лонжерон руля глубины как статически неопределенную пятипорную балку.

Схема нагрузки на лонжерон руля глубины.



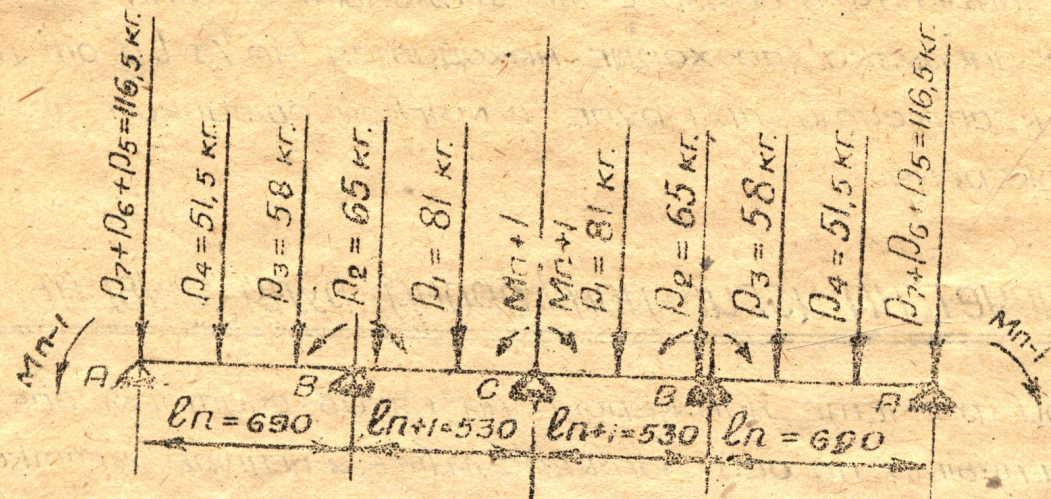
ЧЕРТ. № 5

ПРИМЕЧАНИЕ: 1. Вследствии полной симметрии лонжерона руля, размеры и названия сил по обе стороны оси симметрии - обозначаем одинаково (см. черт. № 5)

2. Над опорой С "воздушный" нагрузки нет, ибо она скрыта в хвостовом коке фюзеляжа.
(см. черт. 1 и 4).

Влияние консолей на всю балку заменим действием
средоточенных сил и моментами приложенным у крайних
опор. Средоточенная сила равна сумме сил действующих
на консоли. Момент равен изгибающему моменту от действую-
щих сил на консоли относительно крайних опор.

(см. схему нагрузки - черт. № 6)



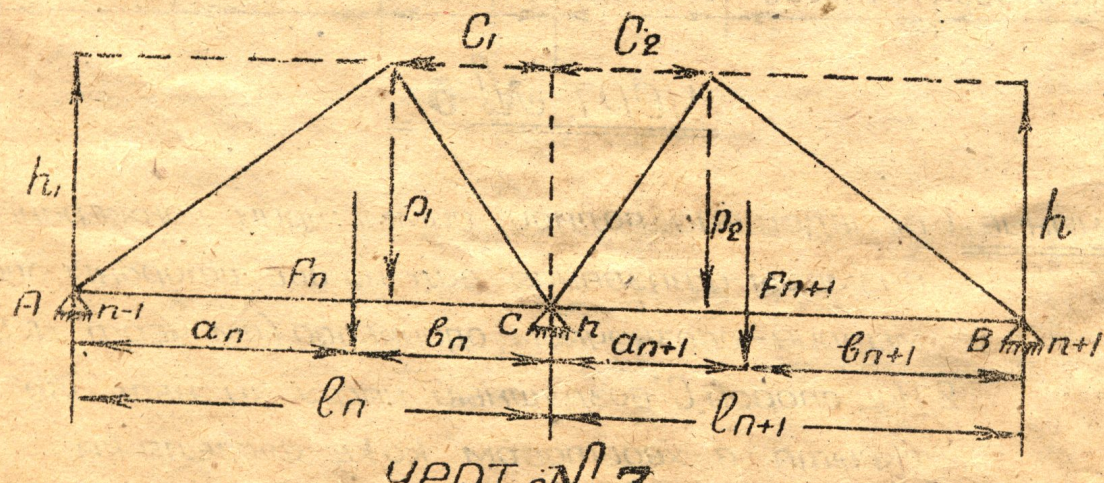
ЧЕРТ. № 6

$$M_{n-1} = P_7 \cdot l_7 + P_6 \cdot l_6 + P_5 \cdot l_5 = 34 \cdot 53 + 38 \cdot 28 + 44.5 \cdot 3 = \\ = 1802 + 1064 + 133.5 = 2999.5 \text{ кгм}$$

$M_{n-1} = -2999.5 \text{ кгм}$. (За положительный - принимаем
момент, изгибающий балку выпуклостью вниз)

(l_7, l_6, l_5 расстояние от сил P_7, P_6, P_5 до крайней опоры А)

Напомним окончательное решение неразрезной балки под-
верженной действию средоточен. сил. (см. черт. № 7).



ЧЕРТ. № 7

Теорема о трех моментах для такой балки напишется:

$$M_{n-1} \cdot l_n + 2M_n(l_n + l_{n+1}) + M_{n+1} \cdot l_{n+1} = -\frac{6F_n \cdot A_n}{l_n} - \frac{6F_{n+1} \cdot B_{n+1}}{l_{n+1}}$$

Первый член правой части: $\frac{6F_n A_n}{l_n}$ представляет ущербенную реакцию от фиктивной нагрузки, равной площади эпюры изгибающих моментов от силы R_1 , у опоры, С".

Второй член правой части: $\frac{6F_{n+1} B_{n+1}}{l_{n+1}}$ представляет ущербенную реакцию от фиктивной нагрузки, равной площади эпюры изгибающих моментов от силы R_2 , у опоры, С".

Высота фиктивной грузовой площади от R_1 равна изгибающему моменту под силой R_1 и равна:

$$h_1 = \frac{R C_1 (l_n - C_1)}{l_n}$$

Площадь фиктивной нагрузки будет:

$$F_n = \frac{h_1 l_n}{2} = \frac{R C_1 (l_n - C_1)}{2}$$

Расстояние от центра тяжести грузовой площади до опоры «А» «Сп» найдем из уравнения статики, соединив грузовую нагрузку F_n по $\frac{1}{3} F_n$ в каждом угле грузового д-ка и составив $\sum M_A$.

$$F_n \cdot A_n = \frac{1}{3} F_n \cdot (l_n - C_1) + \frac{1}{3} F_n \cdot l_n \text{ откуда}$$

$$A_n = \frac{l_n - C_1 + l_n}{3} = \frac{2l_n - C_1}{3} \text{ следовательно:}$$

Первый член правой части ур-ия:

$$-\frac{6F_n A_n}{l_n} = -\frac{6}{l_n} \cdot \frac{R C_1 (l_n - C_1)}{2} \cdot \frac{2l_n - C_1}{3} = -\frac{R C_1 (l_n - C_1) (2l_n - C_1)}{l_n}$$

Запишем по аналогии второй член:

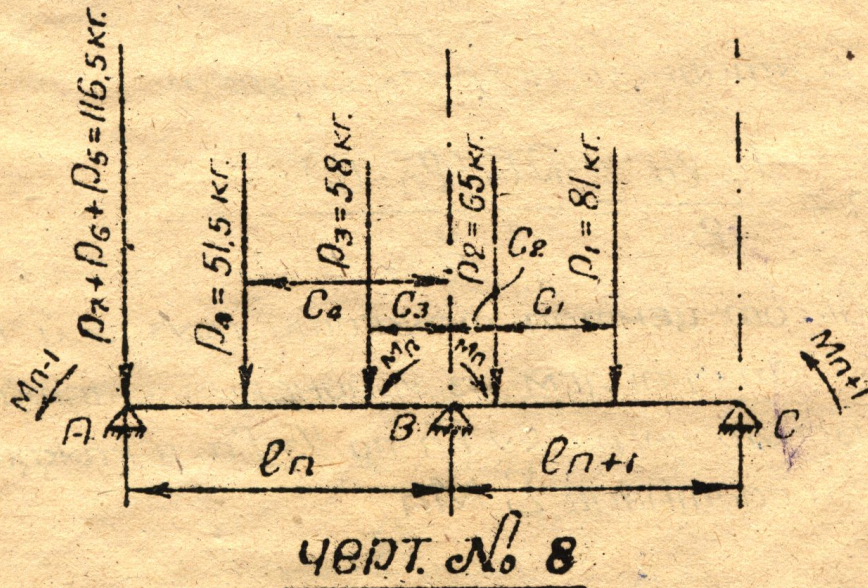
$$-\frac{6F_{n+1} \cdot b_{n+1}}{l_{n+1}} = -\frac{\rho_e C_2 (l_{n+1} - C_2) (2l_{n+1} - C_2)}{l_{n+1}}$$

В случае если в пролете находится не одна, а не сколько сосредоточенных сил, (как в нашей задаче), то пользуясь принципом независимости действия сил, находим выражения для правой части уравнения под влиянием каждой силы в отдельности, и затем алгебраически их суммируем.

Переходим к расчету пятиопорной балки-лонжерона руля.

Теорема о трех моментах для первой части балки представится в виде: (См. черт. № 8).

$$M_{n-1} \cdot l_n + 2M_n \cdot (l_n + b_{n+1}) + M_{n+1} \cdot b_{n+1} = -\frac{6F_n \cdot a_n}{b_n} - \frac{6F_{n+1} \cdot b_{n+1}}{l_{n+1}}$$



Выразив значение ушестеренной реакции от грузовой площади через действующие сосредоточенные силы, получим следующее уравнение о трех моментах для первой части балки.

$$\begin{aligned}
 & M_{n-1} \cdot P_n + 2M_n \cdot (l_n + l_{n+1}) + M_{n+1} \cdot l_{n+1} = \\
 & = \frac{\rho_4 C_4 (l_n - C_4) (2l_n - C_4)}{l_n} - \frac{\rho_3 C_3 (l_n - C_3) (2l_n - C_3)}{l_n} \\
 & - \frac{\rho_2 C_2 (l_{n+1} - C_2) (2l_{n+1} - C_2)}{l_{n+1}} - \frac{\rho_1 C_1 (l_{n+1} - C_1) (2l_{n+1} - C_1)}{l_{n+1}}
 \end{aligned}$$

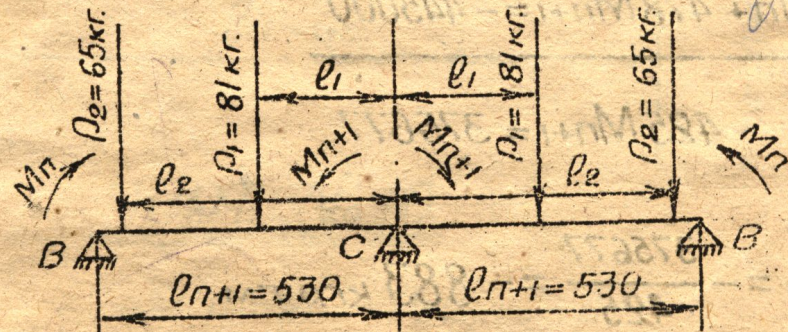
Подставив имеющиеся значения в формулу для первой части балки получим:

$$\begin{aligned}
 & -2995,5 \cdot 69 + 2M_n (69 + 53) + M_{n+1} \cdot 53 = \\
 & = \frac{51,5 \cdot 47 (69 - 47) (2 \cdot 69 - 47)}{69} - \frac{58 \cdot 22 (69 - 22) (2 \cdot 69 - 22)}{69} \\
 & - \frac{65,3 (53 - 3) (2 \cdot 53 - 3)}{53} - \frac{81 \cdot 28 (53 - 28) (2 \cdot 53 - 28)}{53}
 \end{aligned}$$

$$\begin{aligned}
 & -206965,5 + 244M_n + 53M_{n+1} = \\
 & = -70230 - 101663 - 18950 - 83445 = -276288; \\
 & 244M_n + 53M_{n+1} = 206965,5 - 276288 = -69323.
 \end{aligned}$$

Действие о трех моментах для второй части балки.

Балка относительно средней опоры симметрична.
(см. черт. № 9)



97
0,2
132
0,4
194
52,8
52,1

ЧЕРТ. № 9

$$Mn \cdot l_{n+1} + 2Mn+1 \cdot (l_{n+1} + l_{n+1}) + Mn \cdot l_{n+1} =$$

$$= -\frac{D_2 l_2 (l_{n+1} - l_2) (2l_{n+1} - l_2)}{l_{n+1}} - \frac{D_1 l_1 (l_{n+1} - l_1) (2l_{n+1} - l_1)}{l_{n+1}} -$$

$$-\frac{D_2 l_2 (l_{n+1} - l_2) (2l_{n+1} - l_2)}{l_{n+1}} - \frac{D_1 l_1 (l_{n+1} - l_2) (2l_{n+1} - l_2)}{l_{n+1}};$$

$$2Mn \cdot l_{n+1} + 4Mn+1 \cdot l_{n+1} = -\frac{2D_2 l_2 (l_{n+1} - l_2) (2l_{n+1} - l_2)}{l_{n+1}}$$

$$-\frac{2D_1 l_1 (l_{n+1} - l_1) (2l_{n+1} - l_1)}{l_{n+1}};$$

$$2Mn \cdot 53 + 4Mn+1 \cdot 53 = -2 \left[\frac{65 \cdot 50 \cdot (53-50) \cdot (106-50)}{53} + \right. \\ \left. + \frac{81 \cdot 25 \cdot (53-25) \cdot (106-25)}{53} \right];$$

$$106Mn + 212Mn+1 = -2 [10300 + 86500] = -193600$$

РЕШАЕМ СОВМЕСТНО 2 УДАЛЕННИЯ

I. $244Mn + 53Mn+1 = -69323$ II. $106Mn + 212Mn+1 = -193600$	1 2,3
---	----------

$$244Mn + 53Mn+1 = -69323$$

$$- 244Mn + 478Mn+1 = -445000$$

$$-425Mn+1 = 375677$$

$$Mn+1 = -\frac{375677}{425} = -883 \text{ кг/см.}$$

$$244Mn + 53(-883) = -69323.$$

$$244 M_p = -69323 + 46600 = -22723$$

$$M_p = -\frac{22723}{244} = -93 \text{ кгр. см.}$$

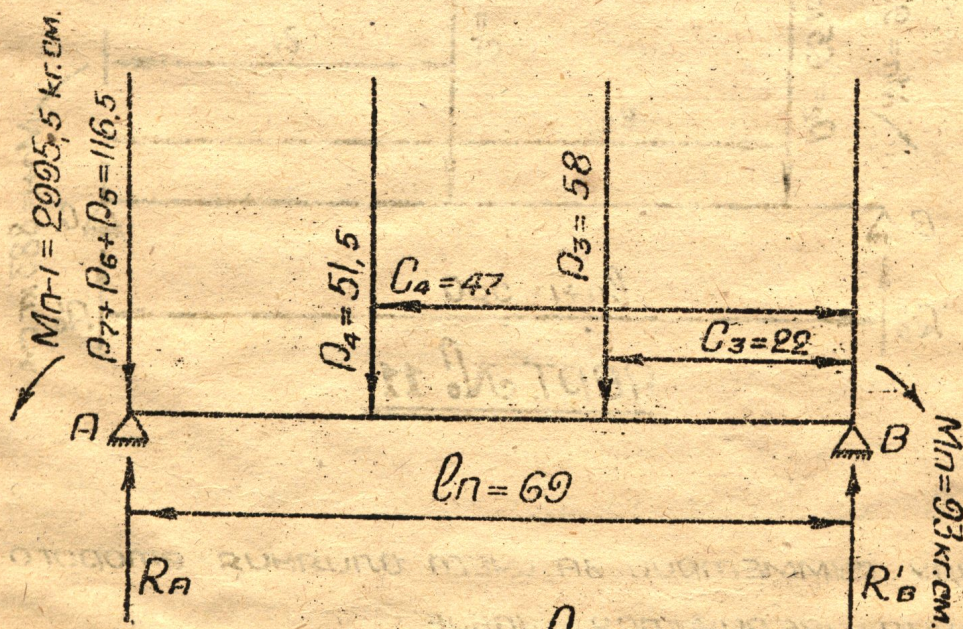
Таким образом определены оба лишних неизвестных M_p и M_{p+1} . Направление моментов M_p и M_{p+1} обратно направлению их стрелок на чертеже.

Определение реакций.

Зная реактивные моменты у каждой опоры мы можем найти реакции от сил и моментов действующих в каждом пролете, как для обыкновенной статически-определенной двухопорной балки. У опор лежащих между двумя пролетами реакция будет равна сумме реакций, найденных для данной опоры от сил в обоих пролетах.

(см. черт. № 10 и 11)

(На чертежах 10 и 11 направления моментов показаны уже правильно, а потому знаки «—» опущены).



ЧЕРТ. № 10

$$R_A = (P_7 + P_6 + P_5) + \frac{M_{p-1} - M_p}{l_p} + \frac{P_4 C_4 + P_3 C_3}{l_p}$$

$$= 116,5 + \frac{2995,5 - 93}{69} + \frac{51,5 \cdot 47 + 58 \cdot 22}{69} = 210 \text{ кгр.}$$

(из черт. № 10)

$$R'_B = \frac{M_n - M_{n+1}}{l_n} + \frac{\rho_2(l_n - C_2) + \rho_3(l_n - C_3)}{l_n} =$$

$$= \frac{93 - 2995,5}{69} + \frac{51,5 \cdot 25 + 28 \cdot 50}{69} = 19 \text{ кгп. (из черт. № 10)}$$

$$R''_B = \frac{M_n - M_{n+1}}{l_{n+1}} + \frac{\rho_2 e_2 + \rho_1 e_1}{l_{n+1}} =$$

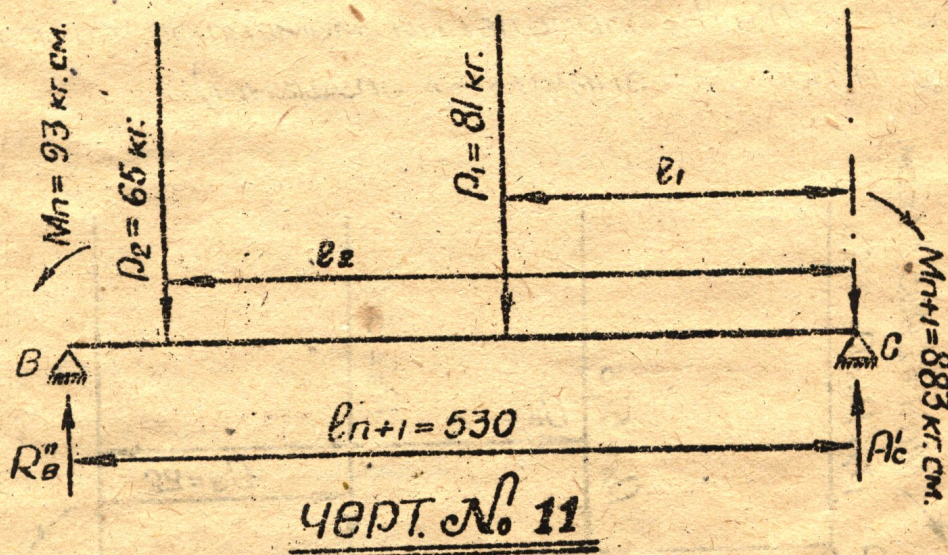
$$= \frac{93 - 883}{53} + \frac{65 \cdot 50 + 81 \cdot 25}{53} = 83 \text{ кгп. (из черт. № 11)}$$

$$R_B = R'_B + R''_B = 19 \text{ кгп.} + 83 \text{ кгп.} = 102 \text{ кгп.}$$

$$R'_C = \frac{M_{n+1} - M_n}{l_{n+1}} + \frac{\rho_2(l_{n+1} - e_2) + \rho_1(l_{n+1} - e_1)}{l_{n+1}} =$$

$$= \frac{883 - 93}{53} + \frac{65 \cdot 3 + 81 \cdot 28}{53} =$$

$$= \frac{790}{53} + \frac{195 + 2265}{53} = 14,8 + 45,2 = 60 \text{ кгп.}$$



Ввиду симметрии, за счет влияния второго пролета реакция увеличивается вдвое.

$$R_C = 2 \cdot R'_C = 2 \cdot 60 = 120 \text{ кгп.}$$

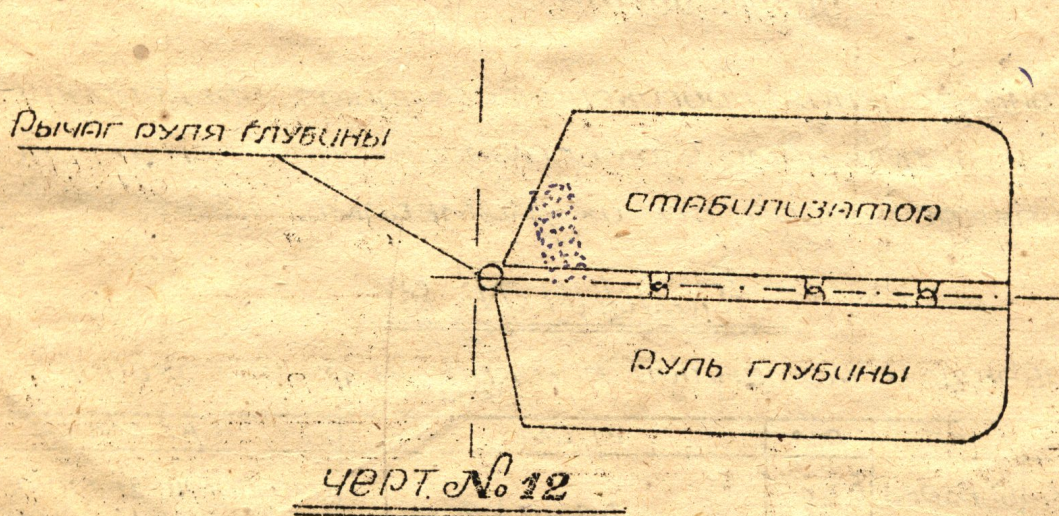
Проверка

СУММА СИЛ НА ВСЕЙ БАЛКЕ РАВНА 744 кгр.

СУММА РЕАКЦИИ РАВНА:

$$\Sigma R = 180 + 102 \cdot 2 + 210 \cdot 2 = 744 \text{ кгр.}$$

ПОЛЬЗОВАНИЕ ТЕОРЕМОЙ О ТРЕХ МОМЕНТАХ ПРИ ОПРЕДЕЛЕНИИ РЕАКЦИЙ В ШАРНИРАХ РУЛЯ ГЛУБИНЫ ДАЕТ НЕ СОВСЕМ ВЕРНЫЕ РЕЗУЛЬТАТЫ ИБО ПРЕДПОЛАГАЕТ НЕПОДВИЖНЫЕ ОПОРЫ, В ТО ВРЕМЯ, КОГДА ПОД ВЛИЯНИЕМ ПРОГИБА СТАБИЛИЗАТОРА, ШАРНИРЫ ПЕРЕМЕЩАЮТСЯ. ТОЧНЕЕ БЫЛОБЫ, ПРИ ОПРЕДЕЛЕНИИ РЕАКЦИЙ ИСХОДИТЬ ИЗ РАВЕНСТВА ПРОГИБОВ РУЛЯ И СТАБИЛИЗАТОРА В МЕРТАХ КРЕПЛЕНИЯ ШАРНИРОВ, НО ПРИ ПЯТИОПОРНОЙ БАЛКЕ ЭТО ПРЕДСТАВЛЯЕТ БОЛЬШИЕ ТРУДНОСТИ. Поясним «в общем виде» пользование этим методом при трех шарнирном креплении руля глубины к стабилизатору. (см. черт. № 12)

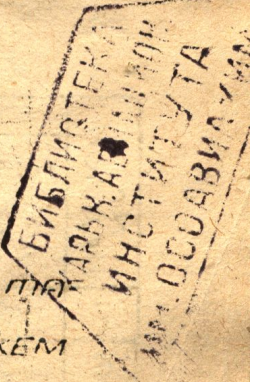


ЧЕРТ. № 12

Путь нахождения реакции в этом случае будет таков: Приняв один шарнир за лишнее неизвестное мы можем утверждать, что в сечении этого шарнира прогибы лонжеронов стабилизатора и руля равны (ибо их соединяет шарнир).

$$f_{ст} = f_{руля} \quad 3356$$

45455



Введем следующие обозначения:

$\Upsilon_{ст}$ — прогиб лонжерона стабилизатора, вместе крепления лишнего шарнира, от воздушной нагрузки.

$\Upsilon_{ст}$ — прогиб лонжерона стабилизатора у лишнего шарнира от единичной нагрузки, приложенной в шарнире.

$\Upsilon_{руля}$ — прогиб лонжерона руля высоты у лишнего шарнира от воздушной нагрузки.

$\Upsilon_{руля}$ — прогиб лонжерона руля высоты у лишнего шарнира от единичной нагрузки, приложенной в шарнире.

Из условия равенства прогибов имеем:

$$\Upsilon_{ст} + X\Upsilon_{ст} = \Upsilon_{руля} - X\Upsilon_{руля}$$

где X — реакция в лишнем шарнире

откуда:

$$X = \frac{\Upsilon_{руля} - \Upsilon_{ст}}{\Upsilon_{ст} + \Upsilon_{руля}}$$

Для определения прогибов необходимо, предварительно задаться величинами моментов инерции лонжеронов руля и стабилизатора; т.е. их размерами.

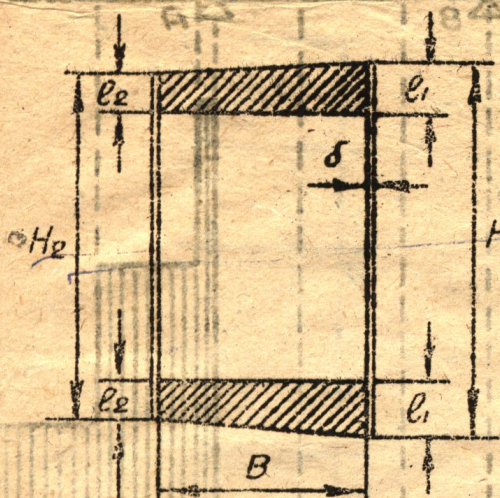
Таблица № 2

изгибающих моментов лонжерона руля глубины.

Номер номера	КГ	КГ	СМ	КГ.СМ.	КГ.СМ.
	НЕРВЮР. СИЛЫ	ПЕРЕДЗ СИЛЫ	ПОСТОЯНН КЛЮЧЕВЫ ЕСТЬ	$\Delta M = Q, e$	ИЗГИБАЮЩИЙ МОМЕНТ ВЛ. ОМ СЕЧЕН. ЛОНЖ-НА. $M_i = Q_i e_i + M_{i-1}$
7	34	0	0	0	0
6	38	34	25	850	850
5	44,5	72	25	1800	2650
A	-210	116,5	3	349,5	2999,5
4	51,5	-93,5	22	-2055,5	940
3	58	-42	25	-1050	-110
B	-102	16	22	352	242
2	65	-86	3	-258	-116
1	81	-21	25	-525	-541
E	-	60	25	1500	959

ПРИМЕЧАНИЕ: В ТАБЛИЦЕ Q_i – ОЗНАЧАЕТ ПЕРЕРЕЗЫВ. СИЛУ, РАВНУЮ СУММЕ СИЛ от конца руля до i -ГО СЕЧЕНИЯ (БЕЗ УЧЕТА СИЛЫ, ПРИЛОЖЕННОЙ в i -ОМ СЕЧЕНИИ).

РАЗМЕРЫ ЛОНЖЕРОНА РУЛЯ ГЛУБИНЫ.



ЧЕРТ. № 13

ПРИМЕЧАНИЕ: ПОЛКИ ЛОНЖЕРОНА НУЖНЫЕ И ВЕРХНИЕ БЕРЕМ ОДИНАКОВЫМИ.
(СМ. ЧЕРТ. № 13).

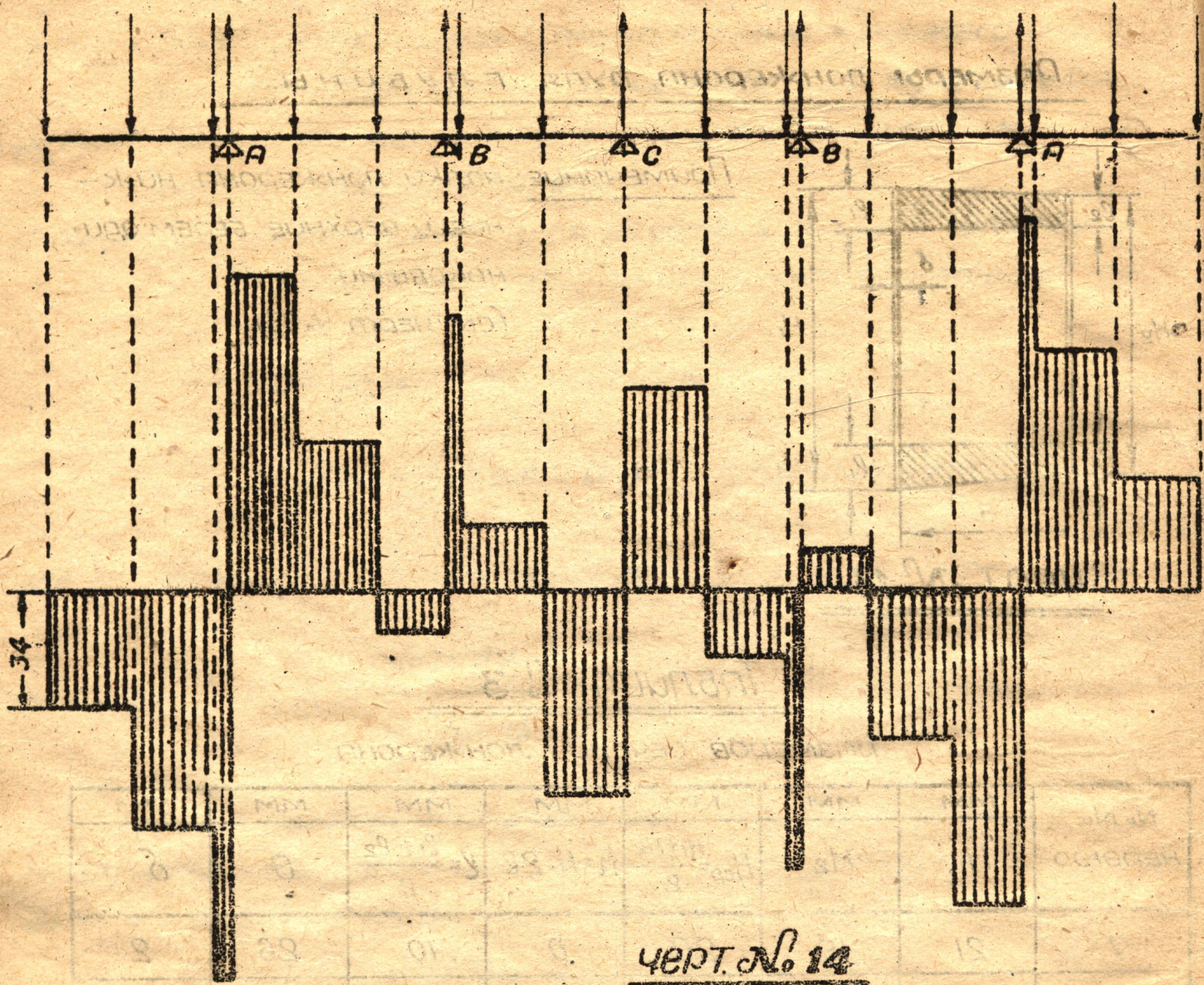
ТАБЛИЦА № 3

РАЗМЕРОВ СЕЧЕНИЙ ЛОНЖЕРОНА

No №	мм	мм	мм	мм	мм	мм	мм
НЕРВЮР.	H_1	H_2	$H_{ср} = \frac{H_1 + H_2}{2}$	$H = H - 2\delta$	$\ell = \frac{\ell_1 + \ell_2}{2}$	B	δ
7	21	19	20	0	10	26	2
6	33	30	31,5	11,5	10	27,5	2
5	47	43	45	25	10	30	2
4	63	59	61	37	12	33	2
3	79	74	76,5	48,5	14	36	2
2	96	90	93	61	16	39	2
1	113	106	109,2	73,5	18	42	2

бм
30м

нек.
ЭПЮРА СРЕЗЫВАЮЩИХ СИЛ РУЛЯ ГЛУБИНЫ.



ЧЕРТ. № 14

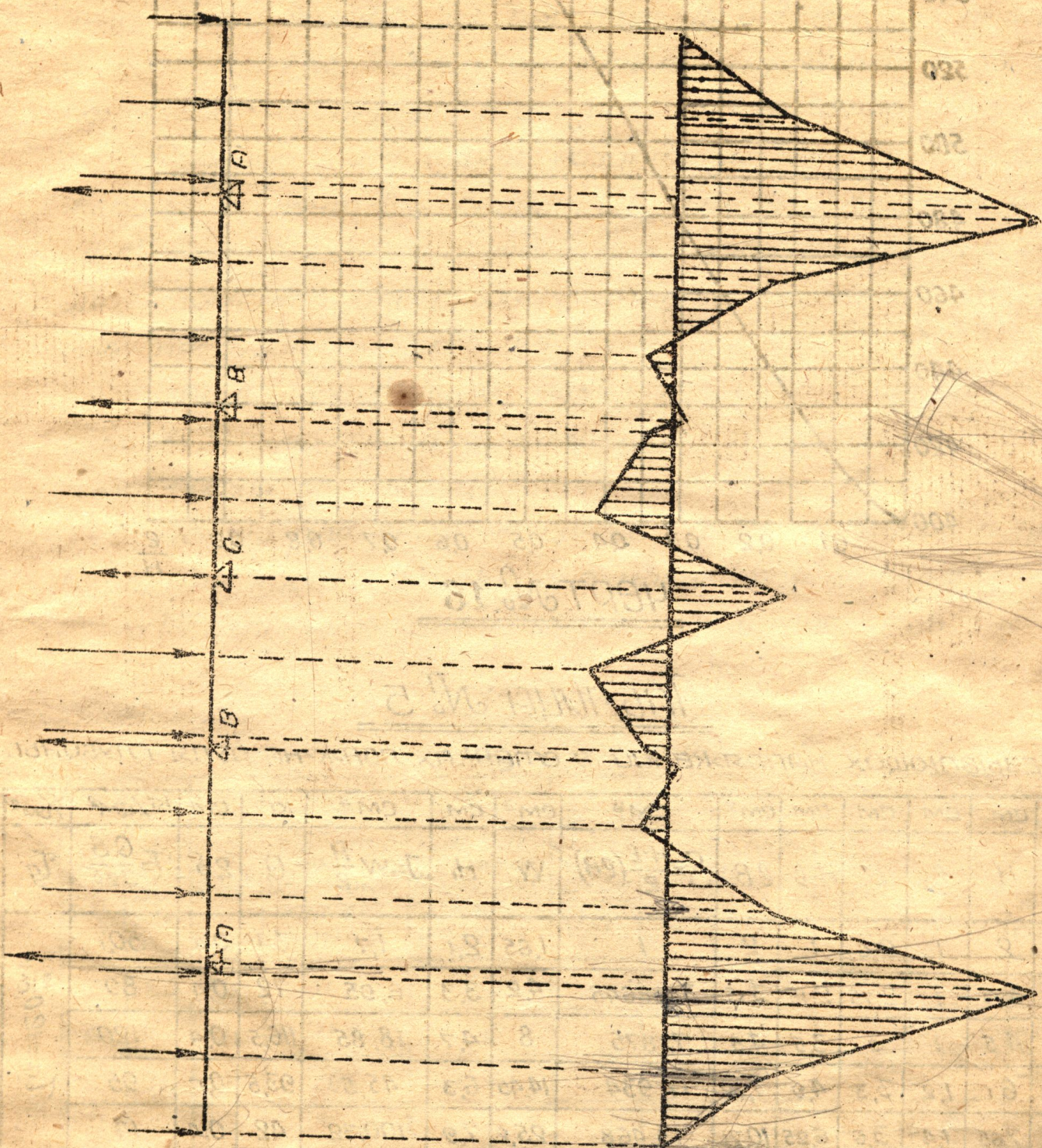
ТАБЛИЦА № 4

Нормальных напряжений в лонжероне руля глубины.

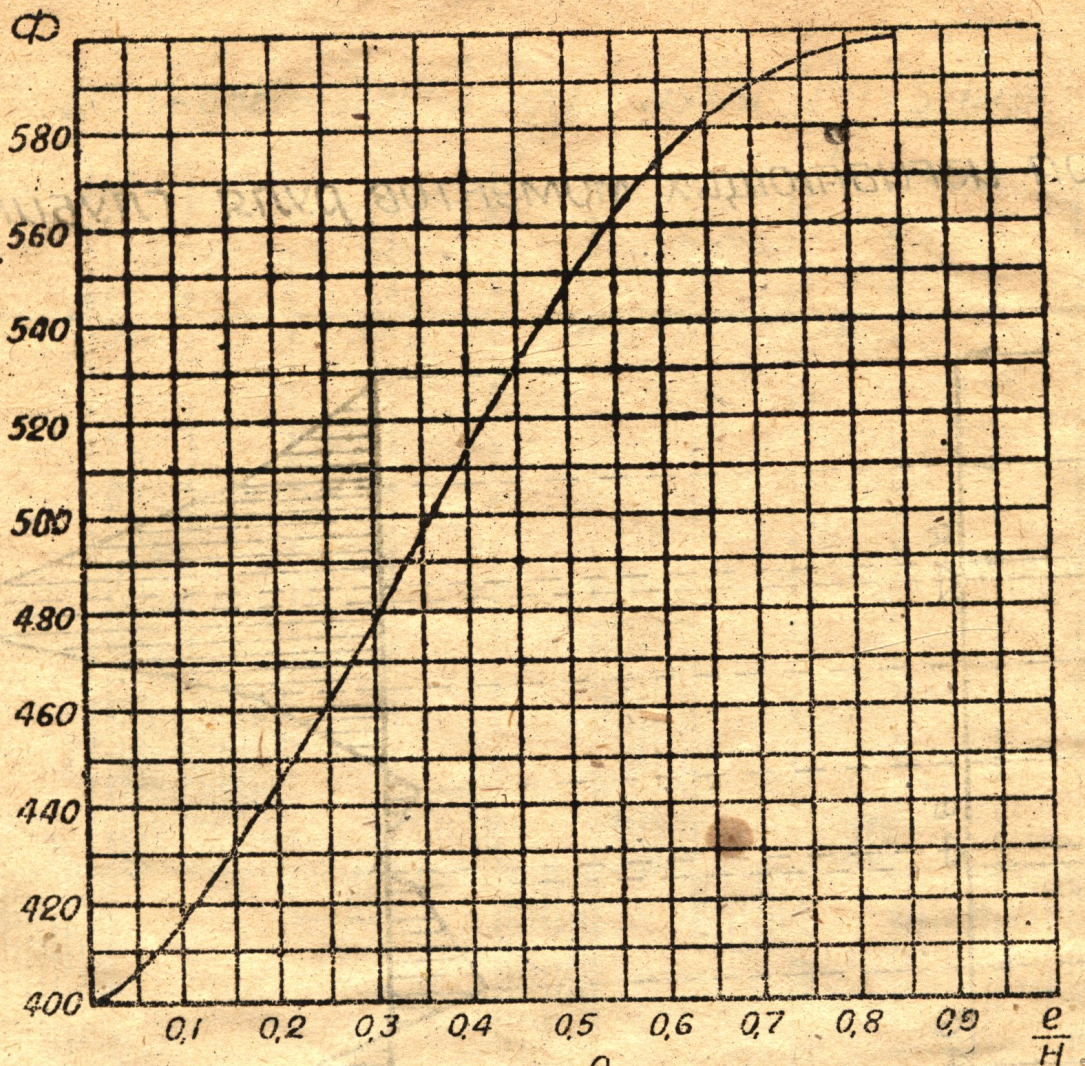
Н о м е р е ч е н и й	см	см	см	см ³	см ³	см ³	см	см	см ³	кг.см	кг/см ²	кг/см ²
	H	B	h	H ³	h ³	H ³ -h ³	H	6H	W = $\frac{B(H^3-h^3)}{6H}$	Мизг	$\sigma = \frac{M}{W}$	Б разр.
7	2	2,6	0	8	0	8	2,1	12,6	1,65	0	0	
6	3,15	2,75	1,15	31,2	1,52	29,7	3,3	19,8	4,2	850	202	
5	4,5	3	2,5	91	15,6	75,4	4,7	28,8	8	2650	332	
4	6,1	3,3	3,7	226	50,6	165,4	6,3	38	14,45	940	65	
3	7,65	3,6	4,85	447	114	333	7,9	47,5	25,2	-110	4,4	
2	9,3	3,9	6,1	804	226	578	9,6	57,5	39,2	-16	0,41	
1	10,92	4,2	7,35	1313	397	916	11,3	67,8	57	-541	9,5	

Приложенные напре-
жения с учетом ковк-
ности по Таблицам
нормы по Твердости
 $\sigma_{Базр} = 200 \text{ ф}$
 $\sigma_{Базр} = f(\varepsilon) \text{ см. Черт. № 16}$

Эпюра изгибающих моментов руля глубины.



ЧЕРТ № 15



ЧЕРТ. № 16

ТАБЛИЦА № 5

СРЕЗЫВАЮЩИХ НАПРЯЖЕНИЙ В СТЕНКАХ ЛОНГ-НА РУЛЯ ГЛУБИНЫ.

СЕЧЕНИЕ	см	см	см	см	см ²	см ⁸	см ³	см	см ⁴	кг.	см	кг/см ²	%/см ²
	H	e	B	H-B	EB	$S = \frac{H-e}{E} (EB)$	W	H ₁	J = W \frac{H}{R}	Q	2S	$T = \frac{Q S}{J 2 S}$	T _g
7	2	1	2,6	1	2	1	1,65	2,1	1,7	34	0,4	50,1	
6	3,15	1	2,75	2,15	3,15	3,38645	4,2	3,3	6,95	72	0,4	89	
5	4,5	1	3	3,5	4,5	7,875	8	4,7	18,85	116,5	0,4	120	
4	6,1	1,2	3,3	4,9	7,32	17,934	14,45	6,3	45,5	93,5	0,4	95	
3	7,65	1,4	3,6	6,25	10,71	13,468	25,2	7,9	100,32	42	0,4	17	
2	9,3	1,6	3,9	7,7	14,88	57,268	39,2	9,6	156,5	86	0,4	8	
1	10,92	1,8	4,2	9,12	19,656	89,631	57	11,3	321	60	0,4	43	

ПРИМЕЧАНИЕ: При расчёте стенки на срез, величина передающей напряжений, силы взята максимальная в каждом данном сечении из эпюры передающих сил.

Определение моментов крутящих.

Момент крутящий создается за счет несовпадения центра давления с центром жесткости. Элементарный крутящий момент, передаваемый каждой нервюрой «дМ» от воздушных нагрузок равен произведению из нагрузки на данную нервюру на расстояние от центра давления до оси лонжерона (т.к. при рулевом управлении с мягкой обшивкой ось лонжерона совпадает с центром жесткости).

Реакции в шарнирах создают относительно оси лонжерона момент M_R равный $R e'$, где R -реакция в шарнире e' -расстояние от оси шарнира до оси лонжерона. Знак момента одинаков со знаком момента от воздушных нагрузок (см. черт. № 17).

Полный крутящий момент в i -ом сечении равен сумме элементарных моментов от воздушной нагрузки и моментов от реакций.

Центр давления находится на $\frac{1}{3}$ от носка профиля.
Передняя кромка лонжерона находится на 100 м.м. от носка.

Результаты расчета сведены в табл. № 6

ТАБЛИЦА № 6

крутящих моментов руля глубины.

№ СЕДОВ •	СМ	СМ	СМ	СМ	СМ	КГ.	КГ.СМ.	КГ.	КГ.СМ.	КГ. СМ.
1	t РУ- ЛЯ.	$\frac{1}{3} t$ t_p	РАССТОЯ- НИЕ от НОСКА до ОСИ ЛОН- ЖЕРОНА $X=10+\frac{t}{2}$	РАССТОЯ- НИЕ от ОСИ ЛОНЖ- ЕРОНА до ЦЕН- ТРА ДАВЛ. $\ell=\frac{1}{3} t - X$	РАССТ. от ОСИ ШАРН. до ОСИ ЛОНЖ. ℓ'	0 0,4	$\Delta M =$ РНГРВЗ	РЕАК- ЦИИ R	$MR =$ $R e'$	M_l КРУЧУЩ. МОМЕНТ в i-ом СЕЧЕНИИ
7	25	8,35	11,3	-2,95		34	-100			-100
6	30,5	10,2	11,4	-1,2		38	-45,5			-145,5
5	36	12	11,5	0,5		44,5	22,3			-123,2
A					3,6			210	757	633,8
4	41,5	13,75	11,7	2,05		51,5	104			737,8
3	47	15,7	11,8	3,09		58	226			953,8
B					3,9			102	397,8	1351,6
2	52,5	17,5	12	5,5		65	357,5			1709,1
1	58	19,3	12,1	7,2		81	583,2			2292,3
C					4,1			120	492	5076,6

ПРИМЕЧАНИЕ: ширину лонжерона «В» берем из табл. № 3.

*) Момент крутящий в сечении «С» лонжерона равен сумме моментов подходящих справа и слева от сечения «С» (т.к. рычаг, снимающий весь крутящий момент находится в сечении «С») и момента M_R действующего непосредственно в сечении «С».

$$\text{т.е. } M_{\text{кр.с}} = 2292,3 + 2292,3 + 492 = 5076,6 \text{ кг.см.}$$

Проекция этого момента на направление оси шарниров должна равняться шарнирному моменту снимаемому рычагом (см. таблицу № 7)

В нашей конструкции $\operatorname{tg} \alpha$ угла наклона оси шарниров к оси лонжерона равен:

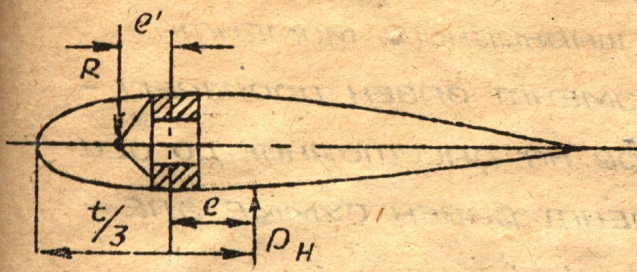
$$\operatorname{tg} \alpha = \frac{41 - 33}{1900} = 0,0042 \quad (\text{т.ч. чертеж № 18}).$$



Помножение на $\cos \alpha$ такого угла (при проектировании на ось шарниров) практически не изменит значения $M_{\text{кр}}$ т.е., практически, для нашего случая мы должны получить $M_{\text{шарн}} = M_{\text{кр.с}}$. Такое совпадение нами получено — см. таблицу № 7. ($M_{\text{шарн}} = 5076 \text{ кг.см}$).

Эпюра распределения крутящих моментов по размаху руля дана на чертеже № 19.

Расчет лонжерона на прочность в сечении «С» производится на $M_{\text{кр}} = 2292,3 \text{ кг.см}$.

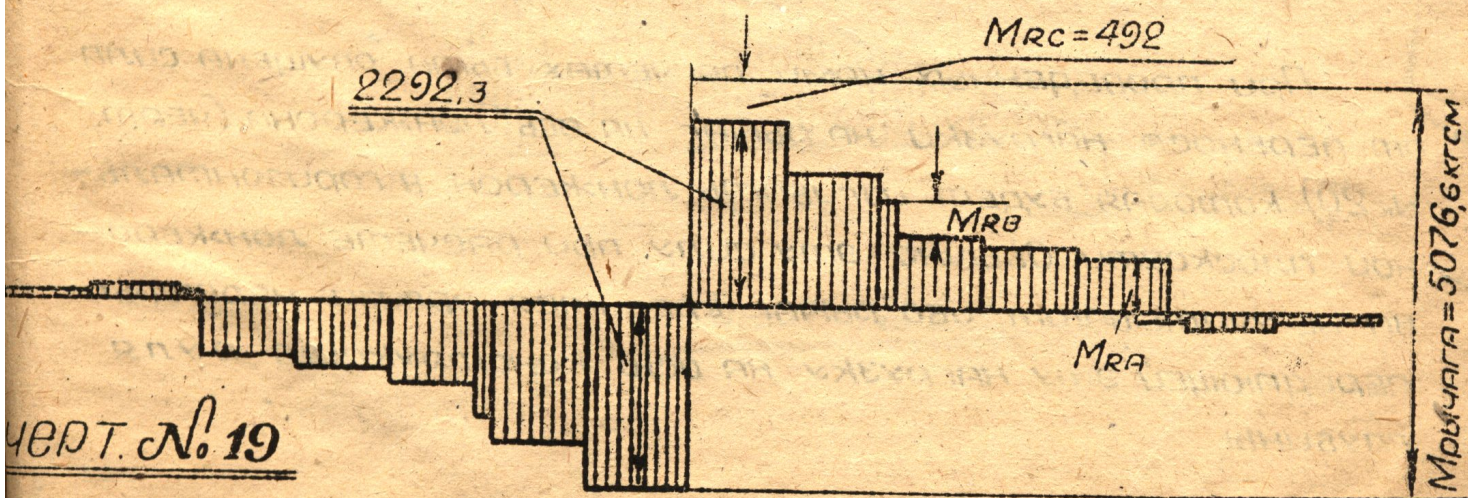
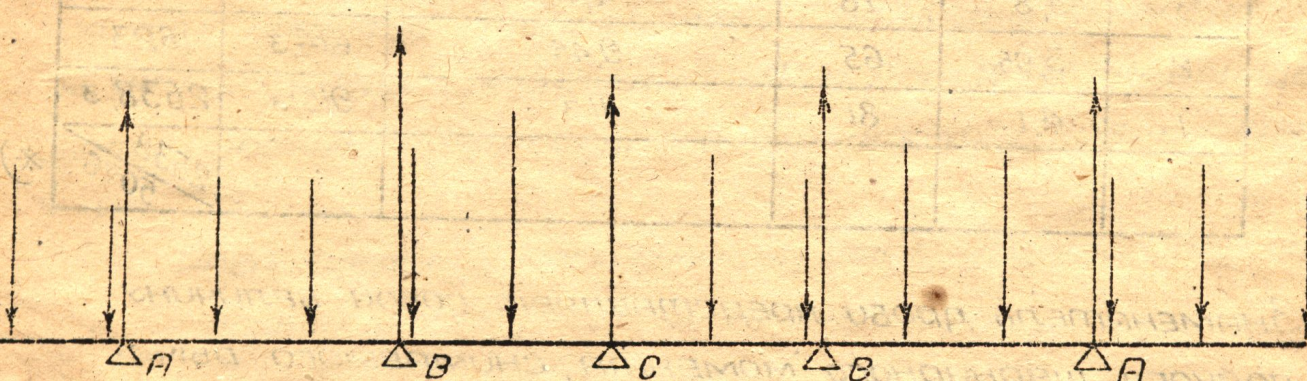


ЧЕРТ. № 17

т.к. из условия восприятия лонжероном крутящего момента, приходится увеличивать его размеры (а следовательно лонжерон получится тяжелым) выгоднее при руле с мягкой обшивкой вводить в конструкцию косые нервюры т.е. создать конструкцию типа «жесткий моностаб» (расчет такой конструкции см. в расчете элерона). При расчете руля с жесткой обшивкой кручение воспринимается замкнутым контуром, состоящим из обшивки хвостика руля и фиктивной стены лонжерона (подобно работе крыла планерного типа).

Конструкцию крыла с жесткой обшивкой в расчет на кручение не вводят, т.к. в местах расположения шарниров разрезана.

(см. чертеж № 21)



Для определения усилия на рычаге управления рулем необходимо определить величину шарнирного момента.

Элементарный шарнирный момент равен произведению из нагрузки на нервюру-Рнерв. на расстояние до оси шарниров. Полный шарнирный момент равен сумме элементарных шарнирных моментов.

Результаты расчета сведены в табл. № 7.

ТАБЛИЦА № 7

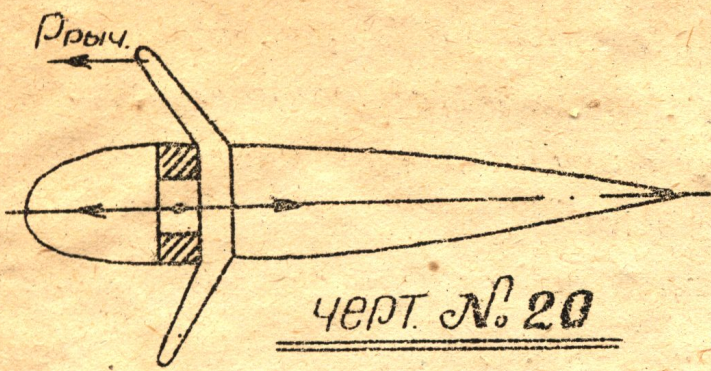
Изменение шарнирных моментов руля глубины.

N. N. СЕЧЕ- НИЙ	СМ РАССТОЯН- ИЕ ОТ ОСИ ШАРНИРОВ ДО ОСИ ЛОНЖ-НА РУЛЕВЫХ ШАРНИРОВ	КГ РНЕР- ВЮРН	СМ РАССТОЯНИЕ ОТ ЦЕН- ТРА ДАВЛЕНИЯ НЕР- ВЮРЫ ДО ОСИ ШАРНИР. $C = e + e'$	КГ. ЕМ. ДМ ШАРНИРН.	КГ. СМ. М ШАРНИРН.
7	3,3	34	0,3	10,2	10,2
6	3,4	38	2,2	83,5	93,7
5	3,5	44,5	4	178	271,7
4	3,65	51,5	5,65	291	562,7
3	3,8	58	7,7	446	1008,7
2	3,95	65	9,45	614,3	1623
1	4,1	81	11,3	915,3	2538,3
					2538 5076 *)

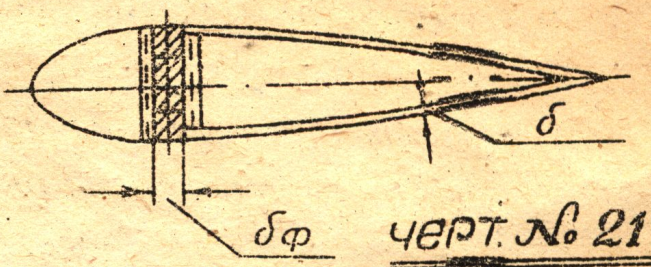
*) Знаменатель дроби представляет собой величину полного шарнирного момента, снимаемого рычагом ($5076 = 2 \cdot 2538$)

ПРИМЕЧАНИЕ: величина «e» взята из таблицы № 5.

При проведенных нами расчетах была опущена сила от переноса нагрузки на рычаг на ось лонжерона (черт. № 20) которая будет изгибать лонжерон в горизонтальной плоскости. Обычно эту силу при расчете лонжерона не учитывают, ибо рычаг крепится вблизи нервюры передающей эту нагрузку на всю конструкцию руля глубины.



ЧЕРТ. № 20

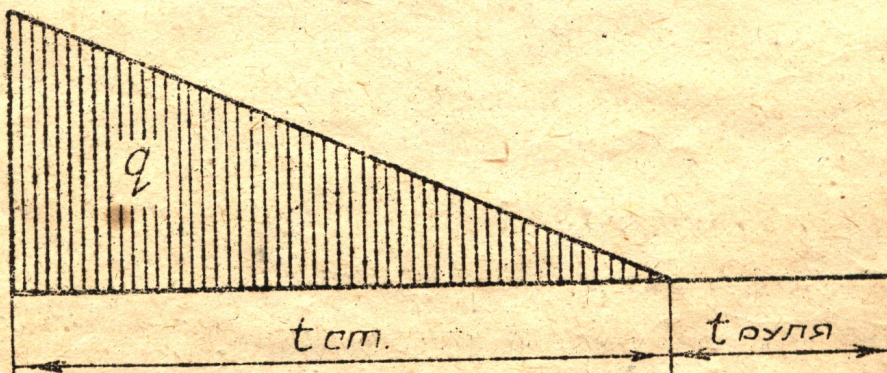


ЧЕРТ. № 21

Расчет стабилизатора

Расчет стабилизатора аналогичен с расчетом двухлонжеронного крыла но, кроме нагрузки, приходящейся на стабилизатор, необходимо учесть влияние усилий в шарнирах крепления руля глубины. Кроме принятого нами выше распределения нагрузки по хорде горизонтального оперения, являющейся наиболее опасной для руля глубины и заднего лонжерона стабилизатора, необходимо стабилизатор рас считать при распределении нагрузки согласно черт. № 22 (см. нормы прочности Т.В.Ф. № 9 за 1934г.) являющейся более опасным для переднего лонжерона стабилизатора.

Распределение нагрузки на стабилизатор при отклоненных рулях (рули не нагружены).



ЧЕРТ. № 22

3356

